

正規分布モデルの共役事前分布によるベイズ統計

- 黒木玄
- 2022-09-03~2022-09-06

目次

- ▼ [1 正規分布モデルの共役事前分布とその応用](#)
 - [1.1 逆ガンマ正規分布](#)
 - [1.2 共役事前分布のBayes更新](#)
 - [1.3 \$\mu\$ の周辺事前・事後分布および事前・事後予測分布](#)
 - [1.4 Jeffreys事前分布の場合](#)
 - [1.5 Jeffreys事前分布の場合の結果の数値的確認](#)
 - [1.6 平均と対数分散について一様な事前分布の場合](#)
 - [1.7 平均と対数分散について一様な事前分布の場合の結果の数値的確認](#)
 - [1.8 通常の信頼区間と予測区間との比較](#)
 - [1.9 データの数値から事前分布を決めた場合](#)
 - [1.10 \$n=5\$ では適応事前分布の場合と無情報事前分布の場合の結果が結構違う。](#)
 - [1.11 \$n=20\$ ではデフォルト事前分布の場合と無情報事前分布の場合の結果が近づく。](#)
 - [1.12 \$n=20\$ で事前分布とデータの数値の相性が悪い場合](#)

```
In [1]: 1 ENV["COLUMNS"] = 120
2
3 using Distributions
4 using LinearAlgebra
5 using Random
6 using StatsPlots
7 default(fmt=:png, size=(500, 350),
8         titlefontsize=10, tickfontsize=6, guidefontsize=9,
9         plot_titlefontsize=10)
10 using SymPy
11 using Turing
```

```
In [2]: 1 # Override the Base.show definition of SymPy.jl:
2 # https://github.com/JuliaPy/SymPy.jl/blob/29c5bfd1d10ac53014fa7fef468bc8deccadc2fc/src/types.
3
4 @eval SymPy function Base.show(io::IO, ::MIME"text/latex", x::SymbolicObject)
5     print(io, as_markdown("\displaystyle " *
6         sympy.latex(x, mode="plain", fold_short_frac=false)))
7 end
8 @eval SymPy function Base.show(io::IO, ::MIME"text/latex", x::AbstractArray{Sym})
9     function toeqnarray(x::Vector{Sym})
10         a = join(["\displaystyle " *
11             sympy.latex(x[i]) for i in 1:length(x)], "\\\")
12         """"\left[ \begin{array}{r}$a$\end{array} \right]""""
13     end
14     function toeqnarray(x::AbstractArray{Sym,2})
15         sz = size(x)
16         a = join([join("\displaystyle " * map(sympy.latex, x[i,:]), "&")
17             for i in 1:sz[1]], "\\\")
18         """"\left[ \begin{array}{ " * repeat("r",sz[2]) * "}" * a * "\end{array}\right]""
19     end
20     print(io, as_markdown(toeqnarray(x)))
21 end
```

```

In [3]: 1 # One sample t-test
        2
        3 function pvalue_ttest( $\bar{x}$ ,  $s^2$ , n,  $\mu$ )
        4     t = ( $\bar{x}$  -  $\mu$ )/ $\sqrt{s^2/n}$ 
        5     2ccdf(TDist(n-1), abs(t))
        6 end
        7
        8 function pvalue_ttest(x,  $\mu$ )
        9      $\bar{x}$ ,  $s^2$ , n = mean(x), var(x), length(x)
       10     pvalue_ttest( $\bar{x}$ ,  $s^2$ , n,  $\mu$ )
       11 end
       12
       13 function confint_ttest( $\bar{x}$ ,  $s^2$ , n;  $\alpha$  = 0.05)
       14     c = quantile(TDist(n-1), 1- $\alpha$ /2)
       15     [ $\bar{x}$  - c* $\sqrt{s^2/n}$ ,  $\bar{x}$  + c* $\sqrt{s^2/n}$ ]
       16 end
       17
       18 function confint_ttest(x;  $\alpha$  = 0.05)
       19      $\bar{x}$ ,  $s^2$ , n = mean(x), var(x), length(x)
       20     confint_ttest( $\bar{x}$ ,  $s^2$ , n;  $\alpha$ )
       21 end

```

Out[3]: confint_ttest (generic function with 2 methods)

```

In [4]: 1 # Bayesian analogue of one sample t-test
        2
        3 posterior_mu_ttest(n,  $\bar{x}$ ,  $s^2$ ) =  $\bar{x}$  +  $\sqrt{s^2/n}$ *TDist(n-1)
        4 posterior_mu_ttest(x) = posterior_mu_ttest(length(x), mean(x), var(x))
        5
        6 preddist_ttest(n,  $\bar{x}$ ,  $s^2$ ) =  $\bar{x}$  +  $\sqrt{s^2*(1 + 1/n)}$ *TDist(n-1)
        7 preddist_ttest(x) = preddist_ttest(length(x), mean(x), var(x))

```

Out[4]: preddist_ttest (generic function with 2 methods)

```
In [5]: 1 # Jeffreys事前分布などのimproper事前分布を定義するために以下が使われる。
2
3 """
4     PowerPos(p::Real)
5
6 The *positive power distribution* with real-valued parameter 'p' is the improper distribution
7 of real numbers that has the improper probability density function
8
9 ```math
10 f(x) = \begin{cases} 0 & \text{if } x \leq 0, \\ x^p & \text{otherwise.} \end{cases}
11 \end{cases}
12 ```
13 """
14
15 struct PowerPos{T<:Real} <: ContinuousUnivariateDistribution
16     p::T
17 end
18 PowerPos(p::Integer) = PowerPos(float(p))
19
20 Base.minimum(d::PowerPos{T}) where T = zero(T)
21 Base.maximum(d::PowerPos{T}) where T = T(Inf)
22
23 Base.rand(rng::Random.AbstractRNG, d::PowerPos) = rand(rng) + 0.5
24 function Distributions.logpdf(d::PowerPos, x::Real)
25     T = float(eltype(x))
26     return x ≤ 0 ? T(-Inf) : d.p*log(x)
27 end
28
29 Distributions.pdf(d::PowerPos, x::Real) = exp(logpdf(d, x))
30
31 # For vec support
32 function Distributions.loglikelihood(d::PowerPos, x::AbstractVector{<:Real})
33     T = float(eltype(x))
34     return any(xi ≤ 0 for xi in x) ? T(-Inf) : d.p*log(prod(x))
35 end
36
37 @doc PowerPos
```

Out[5]: PowerPos(p::Real)

The *positive power distribution* with real-valued parameter p is the improper distribution of real numbers that has the improper probability density function

$$f(x) = \begin{cases} 0 & \text{if } x \leq 0, \\ x^p & \text{otherwise.} \end{cases}$$

```
In [6]: 1 # 以下は使わないが、
2 # Flat() や PowerPos(p) と正規分布や逆ガンマ分布の関係は次のようになっている。
3
4 MyNormal(μ, σ) = σ == Inf ? Flat() : Normal(μ, σ)
5 MyInverseGamma(κ, θ) = θ == 0 ? PowerPos(-κ-1) : InverseGamma(κ, θ)
```

Out[6]: MyInverseGamma (generic function with 1 method)

1 正規分布モデルの共役事前分布とその応用

1.1 逆ガンマ正規分布

平均 $\mu \in \mathbb{R}$, 分散 $v = \sigma^2 \in \mathbb{R}_{>0}$ の正規分布の確率密度関数を次のように表す:

$$p_{\text{Normal}}(y|\mu, v) = \frac{1}{\sqrt{2\pi v}} \exp\left(-\frac{1}{2v}(y - \mu)^2\right) \quad (y \in \mathbb{R}).$$

分散パラメータ σ^2 を v に書き直している理由は, σ^2 を1つの変数として扱いたいからである.

パラメータ $\kappa, \theta > 0$ の逆ガンマ分布の確率密度関数を次のように書くことにする:

$$p_{\text{InverseGamma}}(v|\kappa, \theta) = \frac{\theta^\kappa}{\Gamma(\kappa)} v^{-\kappa-1} \exp\left(-\frac{\theta}{v}\right) \quad (v > 0).$$

v がこの逆ガンマ分布に従う確率変数だとすると,

$$\frac{1}{v} \sim \text{Gamma}\left(\kappa, \frac{1}{\theta}\right) = \frac{1}{2\theta} \text{Gamma}\left(\frac{2\kappa}{2}, 2\right) = \frac{1}{2\theta} \text{Chisq}(2\kappa),$$

$$E[v] = \frac{\theta}{\kappa - 1}, \quad \text{var}(v) = \frac{E[v]^2}{\kappa - 2}.$$

A と B が μ, v に関する定数因子の違いを除いて等しいことを $A \propto B$ と書くことにする。

逆ガンマ正規分布の密度関数を次のように定義する:

$$p_{\text{InverseGammaNormal}}(\mu, v | \mu_*, v_*, \kappa, \theta) = p_{\text{Normal}}(\mu | \mu_*, v_* v) p_{\text{InverseGamma}}(v | \kappa, \theta) \\ \propto v^{-(\kappa+1/2)-1} \exp\left(-\frac{1}{v} \left(\theta + \frac{1}{2v_*}(\mu - \mu_*)^2\right)\right).$$

この逆ガンマ正規分布の密度関数に従う確率変数を μ, v と書くと,

$$E[v] = \frac{\theta}{\kappa - 1}, \quad \text{var}(v) = \frac{E[v]^2}{\kappa - 2}, \quad \text{cov}(\mu, v) = 0, \quad E[\mu] = \mu_*, \quad \text{var}(\mu) = v_* E[v].$$

この逆ガンマ正規分布が正規分布の共役事前分布になっていることを次の節で確認する。

1.2 共役事前分布のBayes更新

データの数値 y_1, \dots, y_n が与えられたとき, 正規分布モデルの尤度関数は

$$\prod_{i=1}^n p_{\text{Normal}}(y_i | \mu, v) \propto v^{-n/2} \exp\left(-\frac{1}{2v} \sum_{i=1}^n (y_i - \mu)^2\right)$$

の形になる。このとき,

$$\bar{y} = \frac{1}{n} \sum_{i=1}^n y_i, \quad \hat{\sigma}^2 = \frac{1}{n} \sum_{i=1}^n (y_i - \bar{y})^2.$$

とおくと,

$$\sum_{i=1}^n (y_i - \mu)^2 = n(\mu - \bar{y})^2 + n\hat{\sigma}^2$$

なので, 尤度を最大化する μ, v は $\mu = \bar{y}, v = \hat{\sigma}^2$ になることがわかる。

さらに, 次が成立することもわかる:

$$\prod_{i=1}^n p_{\text{Normal}}(y_i | \mu, v) \times p_{\text{InverseGammaNormal}}(\mu, v | \mu_*, v_*, \kappa, \theta) \\ \propto v^{-n/2} \exp\left(-\frac{n}{2v}((\mu - \bar{y})^2 + \hat{\sigma}^2)\right) \times v^{-(\kappa+1/2)-1} \exp\left(-\frac{1}{v} \left(\theta + \frac{1}{2v_*}(\mu - \mu_*)^2\right)\right) \\ = v^{-(\kappa+n/2+1/2)-1} \exp\left(-\frac{1}{v} \left(\theta + \frac{n}{2} \left(\hat{\sigma}^2 + \frac{(\bar{y} - \mu_*)^2}{1 + nv_*}\right) + \frac{1 + nv_*}{2v_*} \left(\mu - \frac{\mu_* + nv_* \bar{y}}{1 + nv_*}\right)^2\right)\right).$$

ゆえに共役事前分布から得られる事後分布のパラメータは次のようになる:

$$\tilde{\kappa} = \kappa + \frac{n}{2} = \frac{n}{2} \left(1 + \frac{2\kappa}{n}\right), \\ \tilde{\theta} = \theta + \frac{n}{2} \left(\hat{\sigma}^2 + \frac{(\bar{y} - \mu_*)^2}{1 + nv_*}\right) = \frac{n\hat{\sigma}^2}{2} \left(1 + \frac{2\theta}{n\hat{\sigma}^2} + \frac{(\bar{y} - \mu_*)^2}{(1 + nv_*)\hat{\sigma}^2}\right), \\ \tilde{\mu}_* = \frac{\mu_* + nv_* \bar{y}}{1 + nv_*} = \bar{y} \frac{1 + \mu_*/(nv_* \bar{y})}{1 + 1/(nv_*)}, \\ \tilde{v}_* = \frac{v_*}{1 + nv_*} = \frac{1}{n} \frac{1}{1 + 1/(nv_*)}.$$

```
In [7]: 1 function bayesian_update(μstar, vstar, κ, θ, n, ȳ, σ̂²)
2   μstar_new = (μstar/vstar + n*ȳ)/(1/vstar + n)
3   vstar_new = 1/(1/vstar + n)
4   κ_new = κ + n/2
5   θ_new = θ + (n/2)*(σ̂² + ((ȳ - μstar)^2/vstar)/(1/vstar + n))
6   μstar_new, vstar_new, κ_new, θ_new
7 end
8
9 function bayesian_update(μstar, vstar, κ, θ, y)
10   n, ȳ, σ̂² = length(y), mean(y), var(y; corrected=false)
11   bayesian_update(μstar, vstar, κ, θ, n, ȳ, σ̂²)
12 end
```

Out[7]: bayesian_update (generic function with 2 methods)

```
In [8]: 1 @vars n ȳ σ̂² μ v μ0 v0 κ θ
```

Out[8]: (n, ȳ, σ̂², μ, v, μ0, v0, κ, θ)

```
In [9]: 1 negloglik = n/2*log(v) + n/(2v)*((μ - ȳ)^2 + σ̂²)
```

Out[9]:
$$\frac{n \log(v)}{2} + \frac{n \left(\hat{v} + (-\bar{y} + \mu)^2 \right)}{2v}$$

```
In [10]: 1 neglogpri = (κ + 1/2 + 1)*log(v) + 1/v*(θ + 1/(2v0)*(μ-μ0)^2)
```

Out[10]:
$$\left(\kappa + \frac{3}{2} \right) \log(v) + \frac{\theta + \frac{(\mu - \mu_0)^2}{2v_0}}{v}$$

```
In [11]: 1 neglogpost = (κ + n/2 + 1/2 + 1)*log(v) + 1/v*(
2   θ + n/2*(σ̂² + 1/(1+n*v0)*(ȳ - μ0)^2) +
3   (1 + n*v0)/(2v0)*(μ - (μ0 + n*v0*ȳ)/(1 + n*v0))^2)
```

Out[11]:
$$\left(\frac{n}{2} + \kappa + \frac{3}{2} \right) \log(v) + \frac{\frac{n \left(\hat{v} + \frac{(\bar{y} - \mu_0)^2}{n v_0 + 1} \right)}{2} + \theta + \frac{\left(\mu - \frac{n v_0 \bar{y} + \mu_0}{n v_0 + 1} \right)^2 (n v_0 + 1)}{2 v_0}}{v}$$

```
In [12]: 1 simplify(negloglik + neglogpri - neglogpost)
```

Out[12]: 0

```
In [13]: 1 bayesian_update(μ0, v0, κ, θ, n, ȳ, σ̂²) ▷ collect
```

Out[13]:
$$\left[\begin{array}{c} \frac{n \bar{y} + \frac{\mu_0}{v_0}}{n + \frac{1}{v_0}} \\ \frac{1}{n + \frac{1}{v_0}} \\ \frac{\frac{n}{2} + \kappa}{2} \\ \frac{n \left(\hat{v} + \frac{(\bar{y} - \mu_0)^2}{v_0 \left(n + \frac{1}{v_0} \right)} \right)}{2} + \theta \end{array} \right]$$

1.3 μの周辺事前・事後分布および事前・事後予測分布

確率密度関数

$$p(\mu | \mu_*, v_*, \kappa, \theta) = \int_{\mathbb{R}_{>0}} p_{\text{InverseGammaNormal}}(\mu, v | \mu_*, v_*, \kappa, \theta) dv$$

で定義されるμの周辺事前分布は次になる:

$$\mu \sim \mu_* + \sqrt{\frac{\theta}{\kappa}} v_* \text{TDist}(2\kappa).$$

$$p_*(y_{\text{new}}|\mu_*, v_*, \kappa, \theta) = \iint_{\mathbb{R} \times \mathbb{R}_{>0}} p_{\text{Normal}}(y_{\text{new}}|\mu, v) p_{\text{InverseGammaNormal}}(\mu, v|\mu_*, v_*, \kappa, \theta) d\mu dv$$

で定義される y_{new} の事前予測分布は次になる:

$$y_{\text{new}} \sim \mu_* + \sqrt{\frac{\theta}{\kappa}(1 + v_*)} \text{TDist}(2\kappa).$$

パラメータをBayes更新後のパラメータ

$$\begin{aligned}\tilde{\kappa} &= \kappa + \frac{n}{2} = \frac{n}{2} \left(1 + \frac{2\kappa}{n}\right), \\ \tilde{\theta} &= \theta + \frac{n}{2} \left(\hat{\sigma}^2 + \frac{(\bar{y} - \mu_*)^2}{1 + nv_*} \right) = \frac{n\hat{\sigma}^2}{2} \left(1 + \frac{2\theta}{n\hat{\sigma}^2} + \frac{(\bar{y} - \mu_*)^2}{(1 + nv_*)\hat{\sigma}^2} \right), \\ \tilde{\mu}_* &= \frac{\mu_* + nv_*\bar{y}}{1 + nv_*} = \bar{y} \frac{1 + \mu_*/(nv_*)}{1 + 1/(nv_*)}, \\ \tilde{v}_* &= \frac{v_*}{1 + nv_*} = \frac{1}{n} \frac{1}{1 + 1/(nv_*)}.\end{aligned}$$

に置き換えればこれは μ の周辺事後分布および事後予測分布になる.

その事後分布を使った区間推定の幅は

- n が大きいほど狭くなる.
- κ が大きいほど狭くなる.
- θ が大きいほど広くなる.
- $|\bar{y} - \mu_*|/\hat{\sigma}$ が大きいほど広くなる.
- $|\bar{y} - \mu_*|/\hat{\sigma}$ が大きくても, v_* がさらに大きければ狭くなる.

In [14]:

```
1 posterior_μ(μstar, vstar, κ, θ) = μstar + √(θ/κ*vstar)*TDist(2κ)
2 preddist(μstar, vstar, κ, θ) = μstar + √(θ/κ*(1 + vstar))*TDist(2κ)
```

Out[14]: preddist (generic function with 1 method)

1.4 Jeffreys事前分布の場合

パラメータ空間が $\{(\mu, v) = (\mu, \sigma^2) \in \mathbb{R} \times \mathbb{R}_{>0}\}$ の2次元の正規分布モデルのJeffreys事前分布 $p_{\text{Jeffreys}}(\mu, v)$ は

$$p_{\text{Jeffreys}}(\mu, v) \propto v^{-3/2}$$

になることが知られている. ただし, 右辺の $(\mu, v) \in \mathbb{R} \times \mathbb{R}_{>0}$ に関する積分は ∞ になるので, この場合のJeffreys事前分布は improperである.

逆ガンマ正規分布の密度関数

$$p_{\text{InverseGammaNormal}}(\mu, v|\mu_*, v_*, \kappa, \theta) \propto v^{-(\kappa+1/2)-1} \exp\left(-\frac{1}{v} \left(\theta + \frac{1}{2v_*}(\mu - \mu_*)^2\right)\right).$$

と比較すると, Jeffreys事前分布に対応する共役事前分布のパラメータ値は形式的に次になることがわかる:

$$\kappa \rightarrow 0, \quad \theta \rightarrow 0, \quad v_* \rightarrow \infty.$$

そのとき, Bayes更新後のパラメータの公式は次のようにシンプルになる:

$$\tilde{\kappa} = \frac{n}{2}, \quad \tilde{\theta} = \frac{n\hat{\sigma}^2}{2}, \quad \tilde{\mu}_* = \bar{y}, \quad \tilde{v}_* = \frac{1}{n}.$$

さらに, 前節の公式から, $n \rightarrow \infty$ のとき, 一般のパラメータ値に関するBayes更新の結果は, $n \rightarrow \infty$ のとき漸近的にこのJeffreys事前分布の場合に一致する.

さらに, Jeffreys事前分布の場合には

$$\frac{\tilde{\theta}}{\tilde{\kappa}} = \hat{\sigma}^2, \quad \tilde{v}_* = \frac{1}{n}, \quad 2\tilde{\kappa} = n.$$

ゆえに, μ に関する周辺事後分布は

$$\mu \sim \bar{y} + \frac{\hat{\sigma}}{\sqrt{n}} \text{TDist}(n)$$

になり, 事後予測分布は次になる:

$$y_{\text{new}} \sim \bar{y} + \hat{\sigma} \sqrt{1 + \frac{1}{n}} \text{TDist}(n).$$

```
In [15]: 1 prior_jeffreys() = 0.0, Inf, 0.0, 0.0
2
3 posterior_μ_jeffreys(n, ȳ, σ̂²) = ȳ + √(σ̂²/n)*TDist(n)
4
5 function posterior_μ_jeffreys(y)
6     n, ȳ, σ̂² = length(y), mean(y), var(y; corrected=false)
7     posterior_μ_jeffreys(n, ȳ, σ̂²)
8 end
9
10 preddist_jeffreys(n, ȳ, σ̂²) = ȳ + √(σ̂²*(1+1/n))*TDist(n)
11
12 function preddist_jeffreys(y)
13     n, ȳ, σ̂² = length(y), mean(y), var(y; corrected=false)
14     preddist_jeffreys(n, ȳ, σ̂²)
15 end
```

Out[15]: preddist_jeffreys (generic function with 2 methods)

```
In [16]: 1 μ_true, σ_true, n = 10, 3, 5
2 @show dist_true = Normal(μ_true, σ_true) n
3 y = rand(Normal(μ_true, σ_true), n)

dist_true = Normal{Float64}(μ=10.0, σ=3.0)
n = 5
```

Out[16]: 5-element Vector{Float64}:
8.907557920758455
12.776442690617682
9.787477037446948
11.654572970463558
7.4928287352336485

```
In [17]: 1 n, ȳ, σ̂² = length(y), mean(y), var(y; corrected=false)
```

Out[17]: (5, 10.123775870904058, 3.578829370952538)

```
In [18]: 1 post_μ = posterior_μ(bayesian_update(prior_jeffreys()..., y)...)

```

Out[18]: LocationScale{Float64, Continuous, TDist{Float64}}(
μ: 10.123775870904058
σ: 0.846029475958437
ρ: TDist{Float64}(v=5.0)
)

```
In [19]: 1 posterior_μ_jeffreys(y) ≈ post_μ
```

Out[19]: true

1.5 Jeffreys事前分布の場合の結果の数値的確認


```
In [24]: 1 chn
```

Out[24]: Chains MCMC chain (100000×14×10 Array{Float64, 3}):

Iterations = 1001:1:101000
Number of chains = 10
Samples per chain = 100000
Wall duration = 29.69 seconds
Compute duration = 264.26 seconds
parameters = σ^2 , μ
internals = lp, n_steps, is_accept, acceptance_rate, log_density, hamiltonian_energy, hamiltonian_energy_error, max_hamiltonian_energy_error, tree_depth, numerical_error, step_size, min_step_size

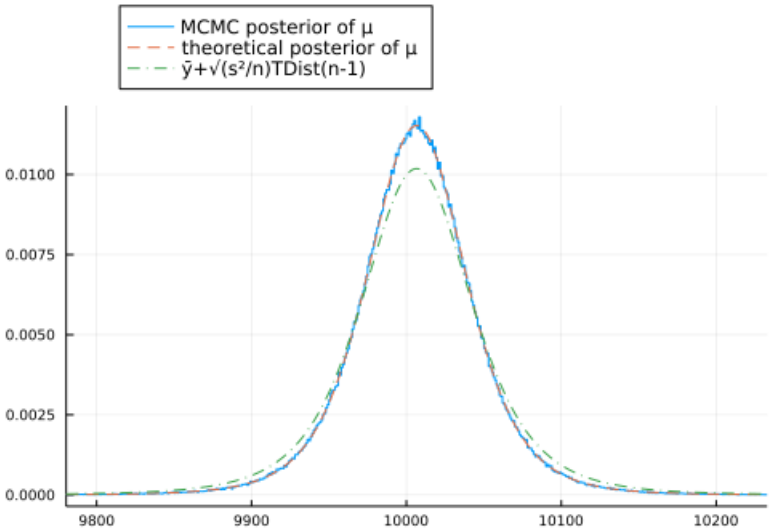
Summary Statistics								
parameters		mean	std	naive_se	mcse	ess	rhat	ess_per_se
c	Symbol	Float64	Float64	Float64	Float64	Float64	Float64	Float64
4								
3	σ^2	9022.2542	11754.5766	11.7546	21.1896	306305.9081	1.0000	1159.121
1	μ	10006.5220	42.3421	0.0423	0.0684	396030.6207	1.0000	1498.657
Quantiles								
parameters		2.5%	25.0%	50.0%	75.0%	97.5%		
Symbol		Float64	Float64	Float64	Float64	Float64		
	σ^2	2112.2209	4091.4356	6229.0145	10127.0592	32526.9346		
	μ	9921.9926	9982.5538	10006.5203	10030.4900	10091.0425		

```
In [25]: 1 @show confint_ttest(y);
```

confint_ttest(y) = [9904.345532976708, 10108.835378323669]

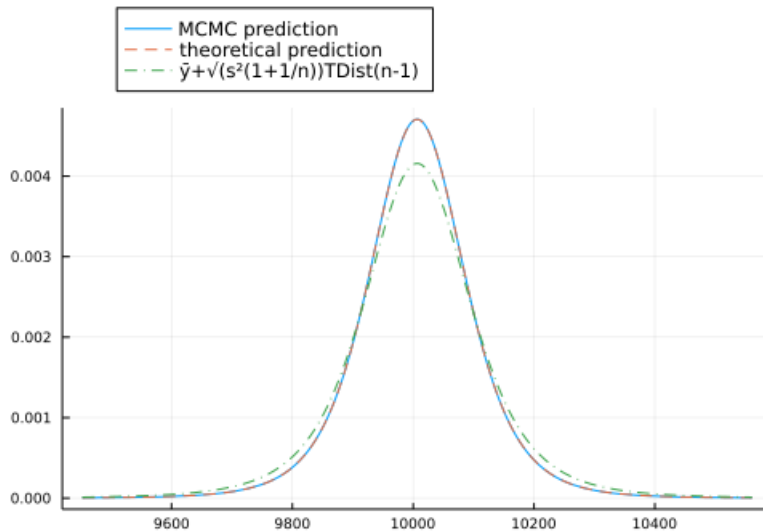
```
In [26]: 1 postμ_theoretical = posterior_μ_jeffreys(y)
2 plot_posterior_μ(chn, y, postμ_theoretical)
```

Out[26]:



```
In [27]: 1 pred_theoretical = preddist_jeffreys(y)
        2 plot_preddist(chn, y, pred_theoretical)
```

Out[27]:



1.6 平均と対数分散について一様な事前分布の場合

平均 μ と分数の対数 $\log v = \log \sigma^2$ に関する一様な事前分布は

$$p_{\text{flat}}(\mu, v) \propto v^{-1}$$

になる。ただし、右辺の $(\mu, v) \in \mathbb{R} \times \mathbb{R}_{>0}$ に関する積分は ∞ になるので、この事前分布はimproperである。

逆ガンマ正規分布の密度関数

$$p_{\text{InverseGammaNormal}}(\mu, v | \mu_*, v_*, \kappa, \theta) \propto v^{-(\kappa+1/2)-1} \exp\left(-\frac{1}{v} \left(\theta + \frac{1}{2v_*}(\mu - \mu_*)^2\right)\right).$$

と比較すると、平均と対数分散について一様な事前分布に対応する共役事前分布のパラメータ値は形式的に次になることがわかる:

$$\kappa \rightarrow -\frac{1}{2}, \quad \theta \rightarrow 0, \quad v_* \rightarrow \infty.$$

このとき、Bayes更新後のパラメータの公式は次のようになる:

$$\tilde{\kappa} = \frac{n-1}{2}, \quad \tilde{\theta} = \frac{n\hat{\sigma}^2}{2}, \quad \tilde{\mu}_* = \bar{y}, \quad \tilde{v}_* = \frac{1}{n}.$$

この場合には

$$\frac{\tilde{\theta}}{\tilde{\kappa}} = \frac{n\hat{\sigma}^2}{n-1} = s^2, \quad \tilde{v}_* = \frac{1}{n}, \quad 2\tilde{\kappa} = n-1.$$

ここで、 s^2 はデータの数値 y_1, \dots, y_n の不偏分散

$$s^2 = \frac{1}{n-1} \sum_{i=1}^n (y_i - \bar{y})^2 = \frac{n\hat{\sigma}^2}{n-1} > \hat{\sigma}^2$$

であり、 s はその平方根である。

ゆえに、 μ に関する周辺事後分布は

$$\mu \sim \bar{y} + \frac{s}{\sqrt{n}} \text{TDist}(n-1)$$

になり、 y_{new} に関する事後予測分布は次になる:

$$y_{\text{new}} \sim \bar{y} + s \sqrt{1 + \frac{1}{n}} \text{TDist}(n-1).$$

したがって、前節の結果と比較すると、Jeffreys事前分布の事後分布と予測分布による区間推定よりもこの場合の区間推定は少し広くなる。

```
In [28]: 1 prior_flat() = 0.0, Inf, -1/2, 0.0
2
3 posterior_μ_flat(n, ȳ, s²) = ȳ + √(s²/n)*TDist(n-1)
4
5 function posterior_μ_flat(y)
6     n, ȳ, s² = length(y), mean(y), var(y)
7     posterior_μ_flat(n, ȳ, s²)
8 end
9
10 preddist_flat(n, ȳ, s²) = ȳ + √(s²*(1+1/n))*TDist(n-1)
11
12 function preddist_flat(y)
13     n, ȳ, s² = length(y), mean(y), var(y)
14     preddist_flat(n, ȳ, s²)
15 end
```

Out[28]: preddist_flat (generic function with 2 methods)

```
In [29]: 1 y = rand(Normal(10, 3), 5)
2 @show dist_true = Normal(μ_true, σ_true) n
3 n, ȳ, s² = length(y), mean(y), var(y)
```

```
dist_true = Normal(μ_true, σ_true) = Normal{Float64}(μ=10000.0, σ=100.0)
n = 5
```

Out[29]: (5, 8.787734651221303, 11.679443105820628)

```
In [30]: 1 post_μ = posterior_μ(bayesian_update(prior_flat(...), y...))
```

Out[30]: LocationScale{Float64, Continuous, TDist{Float64}}{
μ: 8.787734651221303
σ: 1.528361417062118
ρ: TDist{Float64}(ν=4.0)
}

```
In [31]: 1 posterior_μ_flat(y) ≈ post_μ
```

Out[31]: true

1.7 平均と対数分散について一様な事前分布の場合の結果の数値的確認

```
In [32]: 1 @model function normaldistmodel_flat(y)
2     σ² ~ PowerPos(-1)
3     μ ~ Flat()
4     y ~ MvNormal(fill(μ, length(y)), σ²*I)
5 end
```

Out[32]: normaldistmodel_flat (generic function with 2 methods)

```
In [33]: 1 μ_true, σ_true, n = 1e4, 1e2, 5
2 @show dist_true = Normal(μ_true, σ_true) n
3 y = rand(Normal(μ_true, σ_true), n)
```

dist_true = Normal(μ_true, σ_true) = Normal{Float64}(μ=10000.0, σ=100.0)
n = 5

Out[33]: 5-element Vector{Float64}:
9938.320358744673
10043.12283133296
10103.683142774986
10052.567389557995
9952.691263266757

```
In [34]: 1 L = 10^5
2 n_threads = min(Threads.nthreads(), 10)
3 chn = sample(normaldistmodel_flat(y), NUTS(), MCMCThreads(), L, n_threads);
```

Warning: The current proposal will be rejected due to numerical error(s).
isfinite.((θ, r, ℓπ, ℓκ)) = (true, false, false, false)
@ AdvancedHMC D:\.julia\packages\AdvancedHMC\51xgc\src\hamiltonian.jl:47
Warning: The current proposal will be rejected due to numerical error(s).
isfinite.((θ, r, ℓπ, ℓκ)) = (true, false, false, false)
@ AdvancedHMC D:\.julia\packages\AdvancedHMC\51xgc\src\hamiltonian.jl:47
Warning: The current proposal will be rejected due to numerical error(s).
isfinite.((θ, r, ℓπ, ℓκ)) = (true, false, false, false)
@ AdvancedHMC D:\.julia\packages\AdvancedHMC\51xgc\src\hamiltonian.jl:47
Warning: The current proposal will be rejected due to numerical error(s).
isfinite.((θ, r, ℓπ, ℓκ)) = (true, false, false, false)
@ AdvancedHMC D:\.julia\packages\AdvancedHMC\51xgc\src\hamiltonian.jl:47
Warning: The current proposal will be rejected due to numerical error(s).
isfinite.((θ, r, ℓπ, ℓκ)) = (true, false, false, false)
@ AdvancedHMC D:\.julia\packages\AdvancedHMC\51xgc\src\hamiltonian.jl:47
Warning: The current proposal will be rejected due to numerical error(s).
isfinite.((θ, r, ℓπ, ℓκ)) = (true, false, false, false)
@ AdvancedHMC D:\.julia\packages\AdvancedHMC\51xgc\src\hamiltonian.jl:47
Warning: The current proposal will be rejected due to numerical error(s).
isfinite.((θ, r, ℓπ, ℓκ)) = (true, false, false, false)

```
In [35]: 1 chn
```

Out[35]: Chains MCMC chain (100000×14×10 Array{Float64, 3}):

Iterations = 1001:1:101000
Number of chains = 10
Samples per chain = 100000
Wall duration = 24.27 seconds
Compute duration = 198.46 seconds
parameters = σ², μ
internals = lp, n_steps, is_accept, acceptance_rate, log_density, hamiltonian_energy, hamiltonian_energy_error, max_hamiltonian_energy_error, tree_depth, numerical_error, step_size, min_step_size

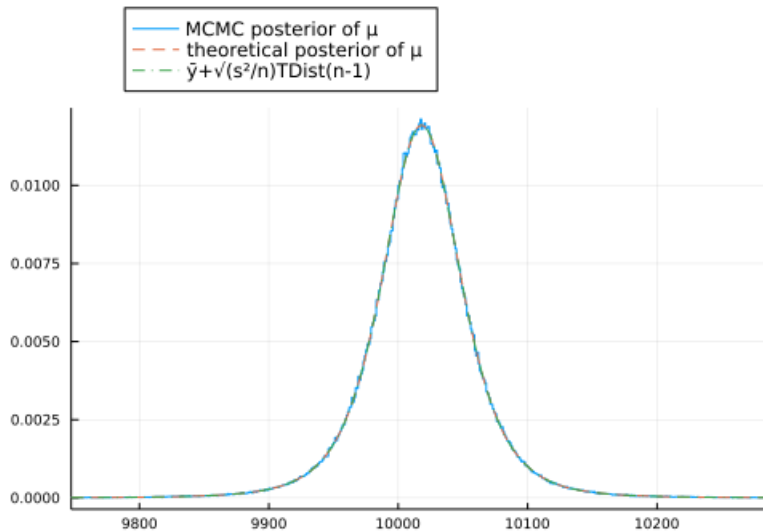
Summary Statistics								
parameters	mean	std	naive_se	mcse	ess	rhat	ess_per_se	
c								
Symbol	Float64	Float64	Float64	Float64	Float64	Float64	Float64	Float64
4								
σ²	9857.0585	20386.2975	20.3863	40.7069	249577.3292	1.0000	1257.544	
6								
μ	10018.0477	44.3136	0.0443	0.0816	282612.2085	1.0000	1423.997	
3								
Quantiles								
parameters	2.5%	25.0%	50.0%	75.0%	97.5%			
Symbol	Float64	Float64	Float64	Float64	Float64			
σ²	1775.4395	3675.5684	5883.5545	10270.3192	40935.0669			
μ	9930.8251	9994.7977	10018.0373	10041.3468	10105.2165			

```
In [36]: 1 @show confint_ttest(y);
```

confint_ttest(y) = [9930.758551812789, 10105.39544245816]

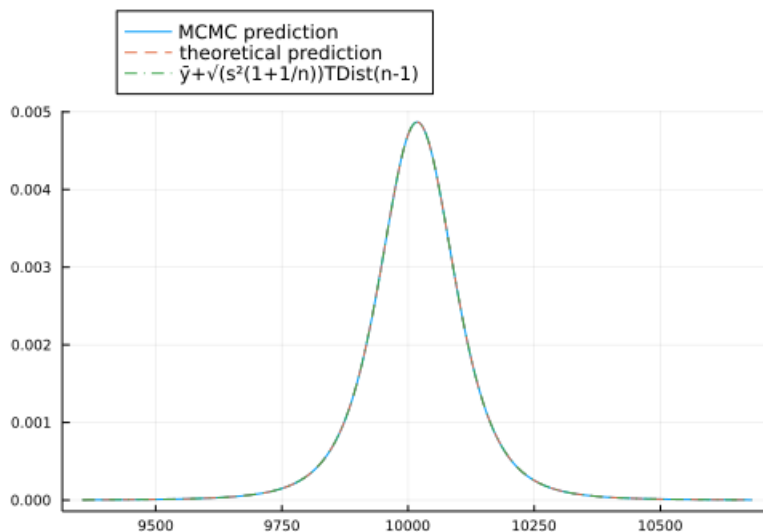
```
In [37]: 1 postμ_theoretical = posterior_μ_flat(y)
         2 plot_posterior_μ(chn, y, postμ_theoretical)
```

Out[37]:



```
In [38]: 1 pred_theoretical = preddist_flat(y)
         2 plot_preddist(chn, y, pred_theoretical)
```

Out[38]:



1.8 通常の信頼区間と予測区間との比較

通常の t 分布を使う平均の信頼区間と次の値の予測区間の構成では以下を使う:

$$\frac{\bar{y} - \mu}{s/\sqrt{n}} \sim \text{TDist}(n-1), \quad \frac{y_{\text{new}} - \bar{y}}{s\sqrt{1+1/n}} \sim \text{TDist}(n-1).$$

ここで, s^2 はデータの数値の不偏分散であり, s はその平方根である.

したがって, 前節の結果と比較すると, 通常の信頼区間と予測区間は, 平均と対数分散に関する一様事前分布に関する事後分布と予測分布を用いた区間推定に一致する.

1.9 データの数値から事前分布を決めた場合

$a, b > 0$ であると仮定する.

データの数値から共役事前分布のパラメータを次の条件によって決めたと仮定する:

$$E[\mu] = \mu_* = \bar{y}, \quad E[v] = \frac{\theta}{\kappa - 1} = \hat{\sigma}^2, \quad \text{var}(\mu) = v_* E[v] = a\hat{\sigma}^2, \quad \text{var}(v) = \frac{E[v]^2}{\kappa - 2} = b\hat{\sigma}^4.$$

これは次と同値である:

$$\mu_* = \bar{y}, \quad v_* = a, \quad \kappa = 2 + \frac{1}{b}, \quad \theta = \hat{\sigma}^2 \left(1 + \frac{1}{b}\right).$$

このパラメータ値に対応する共役事前分布を以下では **適応事前分布** (adaptive prior) と呼ぶことにする(注意: ここだけの用語).

これのBayes更新の結果は以下のようになる:

$$\begin{aligned} \tilde{\kappa} &= 2 + \frac{1}{b} + \frac{n}{2} = \frac{n}{2} \left(1 + \frac{2(2 + 1/b)}{n}\right) && \rightarrow 2 + \frac{n}{2}, \\ \tilde{\theta} &= \hat{\sigma}^2 \left(1 + \frac{1}{b} + \frac{n}{2}\right) + \frac{n}{2} \frac{(\bar{y} - \bar{y})^2}{1 + na} = \frac{n\hat{\sigma}^2}{2} \left(1 + \frac{2(1 + 1/b)}{n}\right) && \rightarrow \hat{\sigma}^2 \left(1 + \frac{n}{2}\right), \\ \tilde{\mu}_* &= \frac{\bar{y} + nv_*\bar{y}}{1 + nv_*} = \bar{y} && \rightarrow \bar{y}, \\ \tilde{v}_* &= \frac{a}{1 + na} = \frac{1}{n} \frac{1}{1 + 1/(na)} && \rightarrow \frac{1}{n}. \end{aligned}$$

以上における \rightarrow は $a \rightarrow \infty, b \rightarrow \infty$ での極限を意味する.

適応事前分布の構成のポイントは, $\mu_* = \bar{y}$ となっているおかげで, $\tilde{\mu}_*$ も $\tilde{\mu}_* = \bar{y}$ となってバイアスが消え, さらに, $\tilde{\theta}$ の中の $\frac{n}{2} \frac{(\bar{y} - \mu_*)^2}{1 + na}$ の項が消えて, 区間推定の幅が無用に広くならず済むことである.

ただし, 適応事前分布の場合には

$$\frac{\tilde{\theta}}{\tilde{\kappa}} = \hat{\sigma}^2 \frac{1 + 2(1 + 1/b)/n}{1 + 2(2 + 1/b)/n} < \hat{\sigma}^2, \quad v_* = \frac{1}{n} \frac{1}{1 + 1/(na)} < \frac{1}{n}$$

なので, 区間推定の幅はJeffreys事前分布の場合よりも少し狭くなる.

しかし, n が大きければそれらの違いは小さくなる.

```
In [39]: 1 function prior_adaptive(n, y_bar, sigma_hat2; a = 2.5, b = 2.5)
2         mu_star = y_bar
3         v_star = a
4         kappa = 2 + 1/b
5         theta = sigma_hat2*(1 + 1/b)
6         mu_star, v_star, kappa, theta
7     end
8
9     function prior_adaptive(y; a = 2.5, b = 2.5)
10         n, y_bar, sigma_hat2 = length(y), mean(y), var(y; corrected=false)
11         prior_adaptive(n, y_bar, sigma_hat2; a, b)
12     end
13
14     function posterior_adaptive(n, y_bar, sigma_hat2; a = 2.5, b = 2.5)
15         mu_star = y_bar
16         v_star = 1/(1/a + n)
17         kappa = 2 + 1/b + n/2
18         theta = sigma_hat2*(1 + 1/b + n/2)
19         mu_star, v_star, kappa, theta
20     end
21
22     function posterior_adaptive(y; a = 2.5, b = 2.5)
23         n, y_bar, sigma_hat2 = length(y), mean(y), var(y; corrected=false)
24         posterior_adaptive(n, y_bar, sigma_hat2; a, b)
25     end
```

Out[39]: posterior_adaptive (generic function with 2 methods)

```
In [40]: 1 mu_true, sigma_true, n = 1e4, 1e2, 5
2 @show dist_true = Normal(mu_true, sigma_true) n
3 y = rand(Normal(mu_true, sigma_true), n)
```

```
dist_true = Normal(mu_true, sigma_true) = Normal{Float64}(mu=10000.0, sigma=100.0)
n = 5
```

Out[40]: 5-element Vector{Float64}:
10083.259871757211
9926.401944941801
9991.19372936849
10075.802739280522
10121.121392882735

```
In [41]: 1 n,  $\bar{y}$ ,  $\hat{\sigma}^2$  = length(y), mean(y), var(y; corrected=false)
```

```
Out[41]: (5, 10039.55593564615, 5003.903445576875)
```

```
In [42]: 1  $\mu$ star, vstar,  $\kappa$ ,  $\theta$  = prior_adaptive(y)
2 a, b = 2.5, 2.5
3 @show  $\bar{y}$ ,  $\hat{\sigma}^2$ , a* $\hat{\sigma}^2$ , b* $\hat{\sigma}^2$ ^2
4 ( $\bar{y}$ ,  $\hat{\sigma}^2$ , a* $\hat{\sigma}^2$ , b* $\hat{\sigma}^2$ ^2) . $\approx$  ( $\mu$ star,  $\theta/(\kappa - 1)$ , ( $\theta/(\kappa - 1)$ )*vstar, ( $\theta/(\kappa - 1)$ )^2/( $\kappa - 2$ ))
```

```
( $\bar{y}$ ,  $\hat{\sigma}^2$ , a *  $\hat{\sigma}^2$ , b *  $\hat{\sigma}^2$  ^ 2) = (10039.55593564615, 5003.903445576875, 12509.758613942187, 6.259762423164031e7)
```

```
Out[42]: (true, true, true, true)
```

```
In [43]: 1 posterior_adaptive(n,  $\bar{y}$ ,  $\hat{\sigma}^2$ )
```

```
Out[43]: (10039.55593564615, 0.18518518518518517, 4.9, 19515.223437749813)
```

```
In [44]: 1 bayesian_update(prior_adaptive(y)..., y)
```

```
Out[44]: (10039.55593564615, 0.18518518518518517, 4.9, 19515.223437749813)
```

```
In [45]: 1 posterior_adaptive(y)
```

```
Out[45]: (10039.55593564615, 0.18518518518518517, 4.9, 19515.223437749813)
```

```
In [46]: 1 posterior_adaptive(y) . $\approx$  bayesian_update(prior_adaptive(y)..., y)
```

```
Out[46]: (true, true, true, true)
```

1.10 $n = 5$ では適応事前分布の場合と無情報事前分布の場合の結果が結構違う。

```
In [47]: 1 @model function normaldistmodel_adaptive(y; a = 2.5, b = 2.5)
2      $\mu$ star, vstar,  $\kappa$ ,  $\theta$  = prior_adaptive(y; a, b)
3      $\sigma^2$  ~ InverseGamma( $\kappa$ ,  $\theta$ )
4      $\mu$  ~ Normal( $\mu$ star,  $\sqrt{vstar * \sigma^2}$ )
5     y ~ MvNormal(fill( $\mu$ , length(y)),  $\sigma^2$ *I)
6 end
```

```
Out[47]: normaldistmodel_adaptive (generic function with 2 methods)
```

```
In [48]: 1  $\mu$ _true,  $\sigma$ _true, n = 1e4, 1e2, 5
2 @show dist_true = Normal( $\mu$ _true,  $\sigma$ _true) n
3 y = rand(Normal( $\mu$ _true,  $\sigma$ _true), n)
```

```
dist_true = Normal( $\mu$ _true,  $\sigma$ _true) = Normal{Float64}( $\mu$ =10000.0,  $\sigma$ =100.0)
n = 5
```

```
Out[48]: 5-element Vector{Float64}:
 9985.962507076916
10014.911470901265
10025.95423488364
10005.918983948448
10008.950493691416
```

```
In [49]: 1 L = 10^5
          2 n_threads = min(Threads.nthreads(), 10)
          3 chn = sample(normaldistmodel_adaptive(y), NUTS(), MCMCThreads(), L, n_threads);
```

```
[ Warning: The current proposal will be rejected due to numerical error(s).  
[   isfinite>((θ, r, λπ, λκ)) = (true, false, false, false)  
[ @ AdvancedHMC D:\.julia\packages\AdvancedHMC\51xgc\src\hamiltonian.jl:47  
[ Warning: The current proposal will be rejected due to numerical error(s).  
[   isfinite>((θ, r, λπ, λκ)) = (true, false, false, false)  
[ @ AdvancedHMC D:\.julia\packages\AdvancedHMC\51xgc\src\hamiltonian.jl:47  
[ Warning: The current proposal will be rejected due to numerical error(s).  
[   isfinite>((θ, r, λπ, λκ)) = (true, false, false, false)  
[ @ AdvancedHMC D:\.julia\packages\AdvancedHMC\51xgc\src\hamiltonian.jl:47  
[ Warning: The current proposal will be rejected due to numerical error(s).  
[   isfinite>((θ, r, λπ, λκ)) = (true, false, false, false)  
[ @ AdvancedHMC D:\.julia\packages\AdvancedHMC\51xgc\src\hamiltonian.jl:47  
[ Warning: The current proposal will be rejected due to numerical error(s).  
[   isfinite((θ, r, λπ, λκ)) = (true, false, false, false)  
[ @ AdvancedHMC D:\.julia\packages\AdvancedHMC\51xgc\src\hamiltonian.jl:47  
[ Warning: The current proposal will be rejected due to numerical error(s).
```

```
In [50]: 1 chn
```

```
Out[50]: Chains MCMC chain (100000x14x10 Array{Float64, 3}):
```

```

Iterations          = 1001:1:101000
Number of chains    = 10
Samples per chain   = 100000
Wall duration       = 24.5 seconds
Compute duration    = 197.43 seconds
parameters          =  $\sigma^2$ ,  $\mu$ 
internals            = lp, n_steps, is_accept, acceptance_rate, log_density, hamiltonian_energy, ha
miltonian_energy_error, max_hamiltonian_energy_error, tree_depth, numerical_error, step_size, no
m_step_size

```

Summary Statistics

parameters	mean	std	naive_se	mcse	ess	rhat	ess_per_sec
Symbol	Float64	Float64	Float64	Float64	Float64	Float64	Float64
σ^2	171.9107	100.4374	0.1004	0.1412	504873.4560	1.0000	2557.2147
μ	10008.3419	5.6399	0.0056	0.0073	635491.9149	1.0000	3218.8051

Quantiles

parameters	2.5%	25.0%	50.0%	75.0%	97.5%
Symbol	Float64	Float64	Float64	Float64	Float64
σ^2	66.4596	108.8723	146.7872	204.2502	427.2786
μ	9997.0848	10004.8203	10008.3417	10011.8590	10019.5846

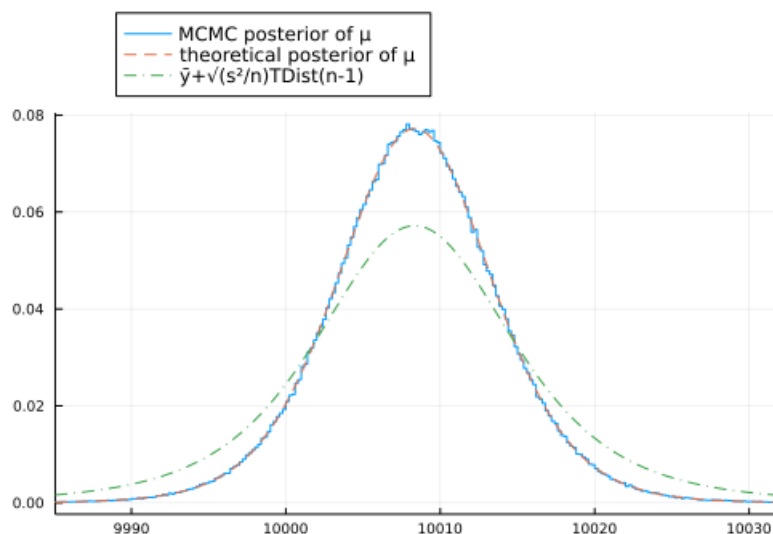
```
In [51]: 1 @show confint_ttest(y);
```

```
confint_ttest(y) = [9990.12860088699, 10026.550475313685]
```



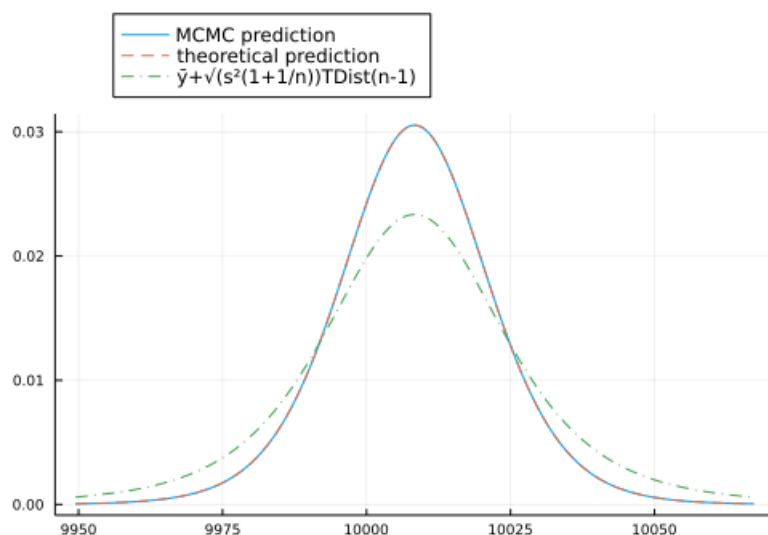
```
In [52]: 1 postμ_theoretical = posterior_μ(posterior_adaptive(y)...)
        2 plot_posterior_μ(chn, y, postμ_theoretical)
```

Out[52]:



```
In [53]: 1 pred_theoretical = preddist(posterior_adaptive(y)...)
        2 plot_preddist(chn, y, pred_theoretical)
```

Out[53]:



以上のように $n = 5$ の場合には、適応事前分布の場合の結果は無情報事前分布の場合の結果(緑のdashdotライン)とかなり違う。

1.11 $n = 20$ ではデフォルト事前分布の場合と無情報事前分布の場合の結果が近づく。

```
In [54]: 1 μ_true, σ_true, n = 1e4, 1e2, 20
2 @show dist_true = Normal(μ_true, σ_true) n
3 y = rand(dist_true, n);
```

```
dist_true = Normal(μ_true, σ_true) = Normal{Float64}(μ=10000.0, σ=100.0)
n = 20
```

```
In [55]: 1 L = 10^5
2 n_threads = min(Threads.nthreads(), 10)
3 chn = sample(normaldistmodel_adaptive(y), NUTS(), MCMCThreads(), L, n_threads);
```

```
Warning: The current proposal will be rejected due to numerical error(s).
  isfinite.((θ, r, ℓπ, ℓκ)) = (true, false, false, false)
@ AdvancedHMC D:\.julia\packages\AdvancedHMC\51xgc\src\hamiltonian.jl:47
Warning: The current proposal will be rejected due to numerical error(s).
  isfinite.((θ, r, ℓπ, ℓκ)) = (true, false, false, false)
@ AdvancedHMC D:\.julia\packages\AdvancedHMC\51xgc\src\hamiltonian.jl:47
Warning: The current proposal will be rejected due to numerical error(s).
  isfinite.((θ, r, ℓπ, ℓκ)) = (true, false, false, false)
@ AdvancedHMC D:\.julia\packages\AdvancedHMC\51xgc\src\hamiltonian.jl:47
Warning: The current proposal will be rejected due to numerical error(s).
  isfinite.((θ, r, ℓπ, ℓκ)) = (true, false, false, false)
@ AdvancedHMC D:\.julia\packages\AdvancedHMC\51xgc\src\hamiltonian.jl:47
Warning: The current proposal will be rejected due to numerical error(s).
  isfinite.((θ, r, ℓπ, ℓκ)) = (true, false, false, false)
@ AdvancedHMC D:\.julia\packages\AdvancedHMC\51xgc\src\hamiltonian.jl:47
Warning: The current proposal will be rejected due to numerical error(s).
  isfinite.((θ, r, ℓπ, ℓκ)) = (true, false, false, false)
@ AdvancedHMC D:\.julia\packages\AdvancedHMC\51xgc\src\hamiltonian.jl:47
Warning: The current proposal will be rejected due to numerical error(s).
  isfinite.((θ, r, ℓπ, ℓκ)) = (true, false, false, false)
```

```
In [56]: 1 chn
```

Out[56]: Chains MCMC chain (100000×14×10 Array{Float64, 3}):

```
Iterations      = 1001:1:101000
Number of chains = 10
Samples per chain = 100000
Wall duration    = 25.81 seconds
Compute duration = 253.98 seconds
parameters       = σ², μ
internals        = lp, n_steps, is_accept, acceptance_rate, log_density, hamiltonian_energy, ha
miltonian_energy_error, max_hamiltonian_energy_error, tree_depth, numerical_error, step_size, no
m_step_size
```

Summary Statistics

parameters	mean	std	naive_se	mcse	ess	rhat	ess_per_sec
Symbol	Float64	Float64	Float64	Float64	Float64	Float64	Float64
σ²	9409.0830	2915.8128	2.9158	3.4177	721285.3637	1.0000	2839.8962
μ	10041.4784	21.4701	0.0215	0.0231	838486.6518	1.0000	3301.3495

Quantiles

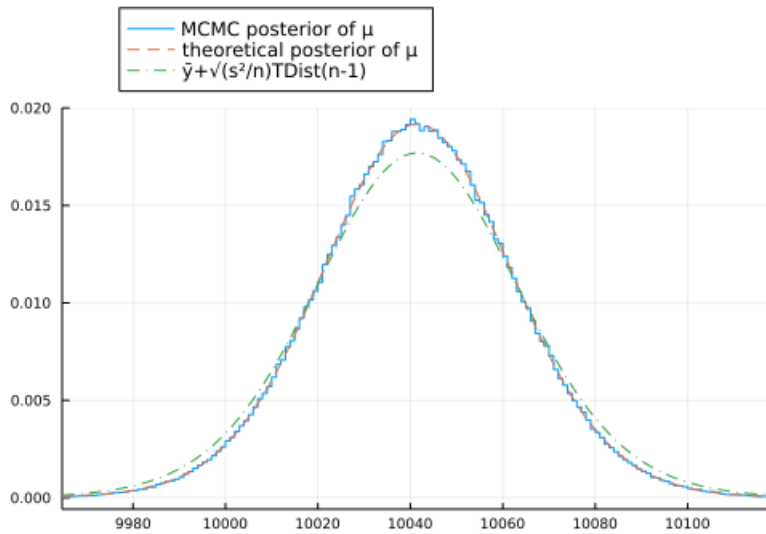
parameters	2.5%	25.0%	50.0%	75.0%	97.5%
Symbol	Float64	Float64	Float64	Float64	Float64
σ²	5312.3192	7367.9194	8886.3682	10861.4063	16505.4742
μ	9999.1423	10027.3843	10041.4429	10055.5680	10083.9317

```
In [57]: 1 @show confint_ttest(y);
```

```
confint_ttest(y) = [9994.87632340346, 10088.031782529277]
```

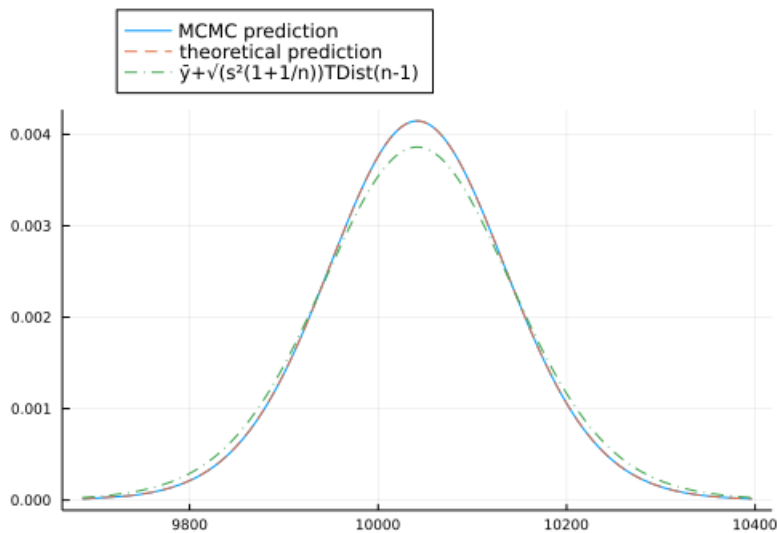
```
In [58]: 1 postμ_theoretical = posterior_μ(posterior_adaptive(y)...)
2 plot_posterior_μ(chn, y, postμ_theoretical)
```

Out[58]:



```
In [59]: 1 pred_theoretical = preddist(posterior_adaptive(y)...)
2 plot_preddist(chn, y, pred_theoretical)
```

Out[59]:



1.12 $n = 20$ で事前分布とデータの数値の相性が悪い場合

```
In [60]: 1 @model function normaldistmodel(y, μstar, vstar, κ, θ)
2   σ² ~ InverseGamma(κ, θ)
3   μ ~ Normal(μstar, √(vstar * σ²))
4   y ~ MvNormal(fill(μ, length(y)), σ²*I)
5 end
```

Out[60]: normaldistmodel (generic function with 2 methods)


```
In [64]: 1 chn
```

Out[64]: Chains MCMC chain (100000×14×10 Array{Float64, 3}):

Iterations = 1001:1:101000
Number of chains = 10
Samples per chain = 100000
Wall duration = 17.67 seconds
Compute duration = 172.78 seconds
parameters = σ^2, μ
internals = lp, n_steps, is_accept, acceptance_rate, log_density, hamiltonian_energy, hamiltonian_energy_error, max_hamiltonian_energy_error, tree_depth, numerical_error, step_size, num_step_size

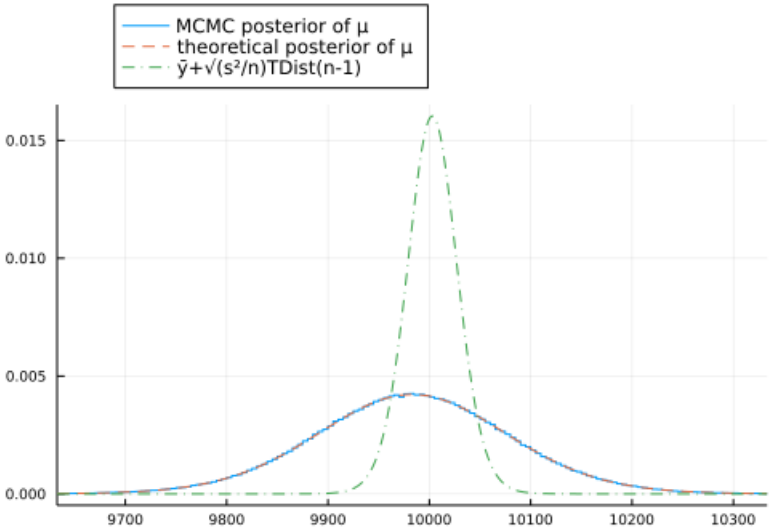
Summary Statistics								
parameters		mean	std	naive_se	mcse	ess	rhat	ess_per_s
ec	Symbol	Float64	Float64	Float64	Float64	Float64	Float64	Float
64								
	σ^2	191373.6927	60472.6088	60.4726	70.7529	730230.4176	1.0000	4226.26
18								
	μ	9982.9046	97.6212	0.0976	0.1059	856817.8344	1.0000	4958.89
57								
Quantiles								
parameters		2.5%	25.0%	50.0%	75.0%	97.5%		
	Symbol	Float64	Float64	Float64	Float64	Float64		
	σ^2	107087.4187	149115.4457	180373.1654	221277.0495	339430.1163		
	μ	9789.9597	9918.7977	9982.9330	10046.9331	10175.8097		

```
In [65]: 1 @show confint_ttest(y);
```

confint_ttest(y) = [9951.560767950448, 10054.34490671698]

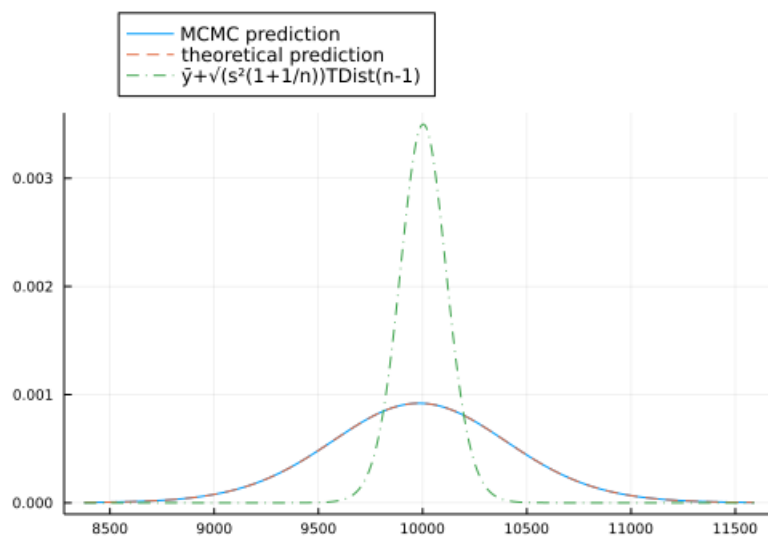
```
In [66]: 1 postμ_theoretical = posterior_μ(bayesian_update(μstar, vstar, κ, θ, y)...)
2 plot_posterior_μ(chn, y, postμ_theoretical)
```

Out[66]:



```
In [67]: 1 pred_theoretical = preddist(bayesian_update( $\mu$ star, vstar,  $\kappa$ ,  $\theta$ , y)...)  
2 plot_preddist(chn, y, pred_theoretical)
```

Out[67]:



```
In [ ]: 1
```